

# Разработка численных методов и универсального пакета программ для решения задач кинетической теории газов, аэроакустики и гиперзвуковой аэродинамики

В.А. Титарев

Вычислительный центр им. А. А. Дородницына РАН  
ФГУП ЦАГИ, НИО-9  
МФТИ

Страничка: <http://www.ccas.ru/personal/titarev/titarev.htm>

Email: [titarev@ccas.ru](mailto:titarev@ccas.ru)

НОЦ “Суперкомпьютерные технологии” МГУ, 6 ноября 2012 г.

- Основное направление деятельности автора доклада - разработка различных разностных схем (ENO/WENO/ADER и тд)
- Также автору приходится решать задачи из разных областей вычислительной физики
- Решаемые уравнения довольно разные, однако все они **гиперболического** типа
- Геометрия расчетной области в задачах - разная, от простой до сложной
- Возникла идея создания универсального пакета программ, который бы соединял в себе общие блоки очень разных решателей.
- Ядро пакета создано в 2009-2011 годах.

- ① **Линейные уравнения: удобны для**
  - разработки разностных схем - есть точное решение
  - отработки общих для всех решателей блоков
- ② **Модельные кинетические уравнения**
  - Работы проводятся в ВЦ РАН и МФТИ
  - Модели Крука, Шахова и Рыкова
  - Течения в микроканалах и микросоплах, а также внешние задачи
- ③ **Аэроакустика винтов**
  - Работы проводятся в Вычислительном центре МК ЦАГИ
  - Сжимаемые уравнения Эйлера во вращающейся системе координат, сложная геометрия реального винта
  - Интеграция с акустическими программами МК ЦАГИ
- ④ **Гиперзвуковая аэродинамика спускаемых аппаратов**
  - Работы проводятся в Лаборатории математического моделирования нелинейных процессов в газовых средах, МФТИ
  - Сжимаемые уравнения Навье-Стокса для сложных геометрий
  - Учет химических реакций и других неравновесных явлений

# Структура пакета Несветай 3Д

## *Препроцессор*

- Подготовка сетки для проведения расчетов с помощью технологии MPI
- Специальный формат сеток

## *Постпроцессор*

- "сборка" результатов счета на многоблочной сетке
- вывод данных
- вычисление сил/моментов, расхода массы

## *Вычислительное ядро*

- чтение сеток в форматах Neutral & StarCD
- реконструкция функций на произвольных неструктурированных сетках
- ТВД ограничители наклонов
- неявные схемы типа LU-SGS
- алгоритмы ускорения счета с помощью технологий OpenMP и MPI

## *Кинетический решатель*

- Уравнение Больцмана с модельными интегралами столкновений
- Модели Крука и Шахова для одноатомного газа
- Модель Рыкова для двухатомного газа

## *Аэродинамический решатель*

- Сжимаемые уравнения Эйлера
- Сжимаемые уравнения Навье-Стокса
- Решатели задачи о распаде разрыва
- Методы дискретизации вязких потоков

# Неструктурированная ТВД схема произвольного порядка

- Используется локальная система координат  $\hat{\mathbf{x}} = (\hat{x}, \hat{y}, \hat{z})$  (Dumbser & Kaser 2007 (tetra) , Titarev 2010 (mixed-element)).
- Для скалярной величины  $g$  реконструкционный многочлен имеет вид

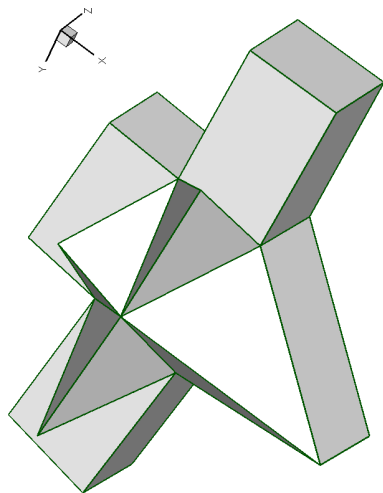
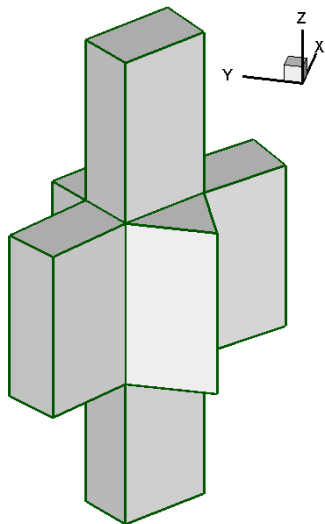
$$p_i(\hat{\mathbf{x}}) = g_i + \sum_{k=1}^K a_{ik} e_{ik}(\hat{\mathbf{x}}), \quad e_{ik} \equiv \hat{x}_k - \frac{1}{|V'_{i0}|} \int_{V'_{i0}} \hat{x}_k d\hat{\mathbf{x}}.$$

- Неизвестные коэффициенты  $a_{ik}$  находятся из условий для каждой ячейки  $m = 1, \dots, M_i$  из шаблона:

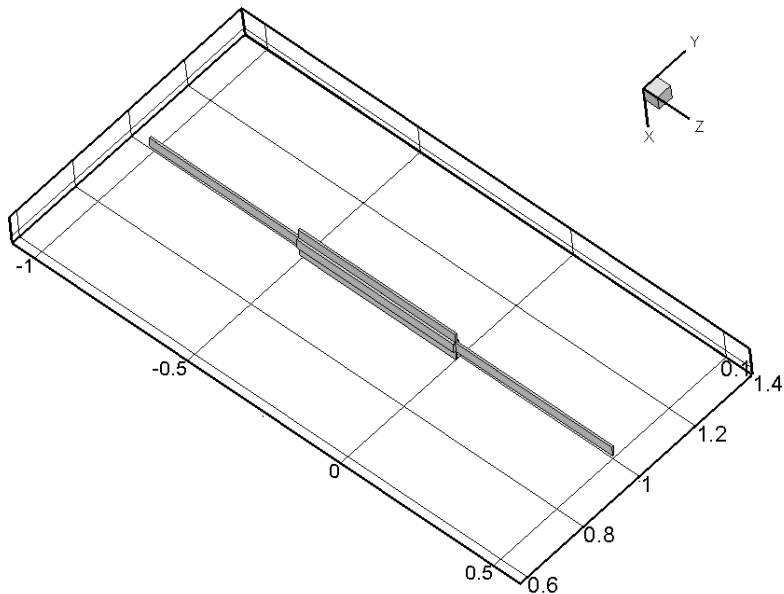
$$\frac{1}{|V'_{im}|} \int_{V'_{im}} p_i(\hat{\mathbf{x}}) d\hat{\mathbf{x}} = g_{i0} + \frac{1}{|V'_{im}|} \sum_{k=1}^K \int_{V'_{im}} a_{ik} e_{ik} d\hat{\mathbf{x}} = g_{im}^n.$$

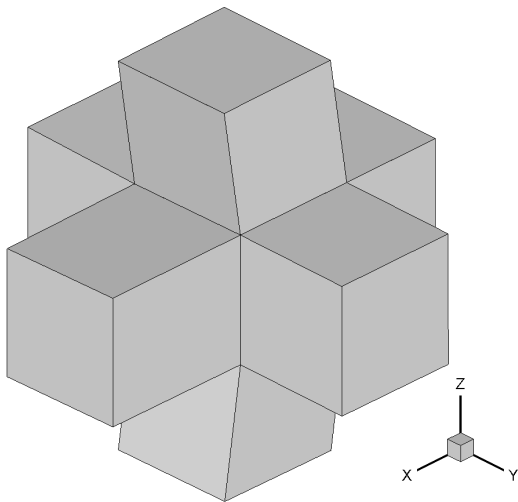
- Окончательно, коэффициенты выражаются через значения  $g$  в ячейках шаблона как

$$\begin{pmatrix} a_{i1}^n \\ a_{i2}^n \\ a_{i3}^n \end{pmatrix} = D_i \cdot \begin{pmatrix} g_{00}^n \\ g_{01}^n \\ g_{02}^n \\ \dots \\ g_{0M_i}^n \end{pmatrix}, \quad D_i = \begin{pmatrix} d_{00} & d_{01} & \dots & d_{0M_i} \\ \dots & \dots & \dots & \dots \\ d_{30} & d_{31} & \dots & d_{3M_i} \end{pmatrix}.$$



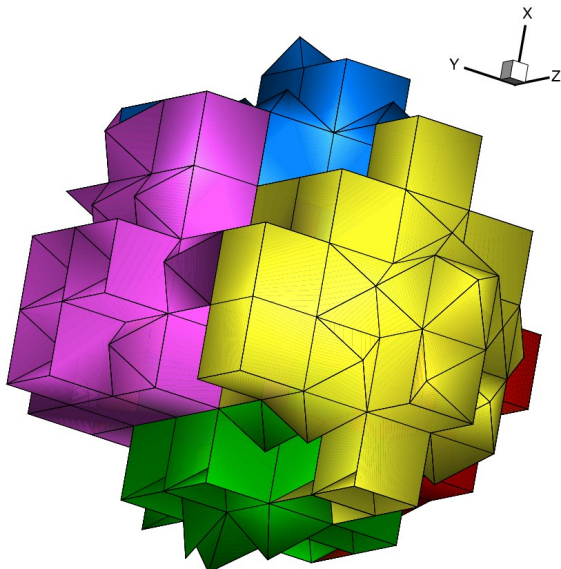
# Влияние отображения в локальную систему координат (i)



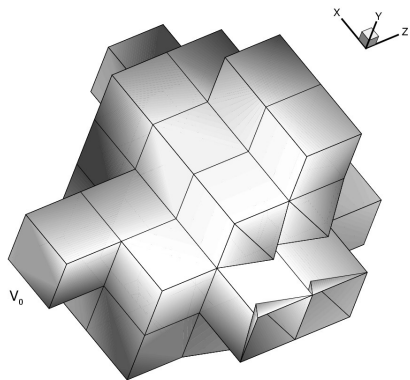
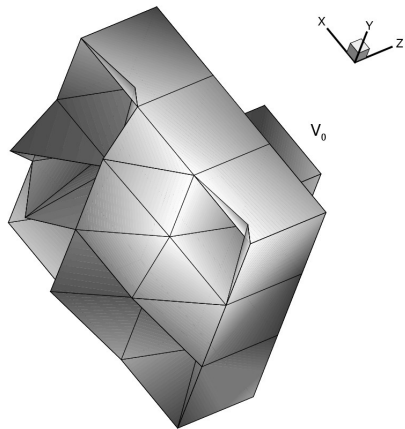




# WENO схема Титарев & et al (2010)



# Первый и второй секторные шаблоны WENO



и так далее...

# Неявный метод решения стационарных задач: общий вид

Расчетные уравнения в векторной форме имеют вид:

$$\frac{\partial}{\partial t} \mathbf{U} + \sum_{k=1}^3 \frac{\partial}{\partial x_k} \mathbf{F}_k = \mathbf{B}$$

Конечно-объемная схема на произвольной неструктурированной сетке:

$$\frac{\Delta \mathbf{U}_i}{\Delta t} = \mathbf{R}_i^{n+1}, \quad \Delta \mathbf{U}_i = \mathbf{U}_i^{n+1} - \mathbf{U}_i^n, \quad \mathbf{R}_i^{n+1} = -\frac{1}{|V_i|} \sum_l \Phi_{il}^{n+1} + \mathbf{B}^{n+1}.$$

Численный поток через грань  $l$  ячейки  $i$  дается формулой

$$\Phi_{il} = \int_{A_{il}} (n_x \mathbf{F} + n_y \mathbf{G} + n_z \mathbf{H}) dA$$

Линеаризация по времени дает следующее выражение:

$$\frac{\Delta \mathbf{U}_i}{\Delta t} = \mathbf{R}_i^n + \frac{\partial \mathbf{R}_i^n}{\partial \mathbf{U}} \Delta \mathbf{U}_i$$

Записывая разностную схему для всех ячеек сетки, получаем итоговую форму

$$\left( \mathbf{I} - \Delta t \frac{\partial \mathbf{R}^n}{\partial \mathbf{U}} \right) \Delta \mathbf{U} = \Delta t \mathbf{R}^n$$

# Метод решения: matrix-free метод

Опуская детали, получаем разреженную систему уравнений для приращения вектора консервативных переменных  $\mathbf{U}$ :

$$D_i \Delta \mathbf{U}_i + \frac{\Delta t}{2|V_i|} \sum_l \left( T_{il}^{-1} \Delta \mathbf{F}_{il} - s_{il} \Delta \mathbf{U}_{\sigma_l(i)} \right) A_{il} = \Delta t \mathbf{R}_i^n$$

которая решается с помощью LU-SGS факторизации (Меньшов & Накамура, 1996 год). Здесь величина  $s_{il}$  содержит как оценку скорости волн из конвективного решения, так и вязкие добавки.

Двухшаговая процедура:

- 1 Backward sweep:  $i = N, N - 1, \dots, 1$ .

$$D_i \Delta \mathbf{U}_i^* = -\frac{\Delta t}{2|V_i|} \sum_{l: \sigma_l(i) < i} \left( T_{il}^{-1} \Delta \mathbf{F}_{il} - s_{il} \Delta \mathbf{U}_{\sigma_l(i)} \right) A_{il} + \Delta t \mathbf{R}_i^n$$

- 2 Forward sweep:  $i = 1, 2, \dots, N$ .

$$D_i \Delta \mathbf{U}_i = \Delta \mathbf{U}_i^* - \frac{\Delta t}{2|V_i|} \sum_{l: \sigma_l(i) > i} \left( T_{il}^{-1} \Delta \mathbf{F}_{il} - s_{il} \Delta \mathbf{U}_{\sigma_l(i)} \right) A_{il}$$

- Для персональных компьютеров реализовано ускорение кода с помощью OpenMP; выигрыш составляет 2.5-3 раза
- Для кластеров основной способ счета - разбиение пространственной сетки на блоки с помощью программы Metis и подготовка входных файлов с помощью препроцессора пакета
- Реализация метода LU-SGS на многоблочной сетке не эквивалентна одноблочному решателю
- Численные эксперименты показывают, что при этом скорость сходимости к стационарному режиму слабо зависит от числа блоков
- Кинетический решатель поддерживает второй вариант ускорения с помощью МПИ без разбиение пространственной сетки на блоки
- Тесты масштабируемости проводились на системах МГУ с использованием до 1024 ядер.

# Кинетический решатель

В настоящее время наиболее популярным методом решения задач механики разреженных газов является DSMC

- Неудобен для нестационарных течений и медленных течений, а так же при малых числах Кнудсена
- Вычислительная эффективность метода не оптимальна из-за использования явных схем продвижения по времени

Кинетическое уравнение Больцмана

- Позволяет относительно легко решать нестационарные задачи
- Допускает разработку методов высоких порядков аппроксимации, включая неявные методы

Существующие решатели:

- Явный многоблочный структурированный код Z.-H. Li & H.-X. Zhang. *J. Comp. Phys.*, v.193, 2004
- **Unified Flow Solver** (UFS) на неструктурированных декартовых сетках V.I. Kolobov *et. al. J. Comp. Phys.*, 223:589–608, 2007
- Метод 1го порядка на тетраэдрах Ю.Ю. Клосс *et. al. Атомная энергия*, 105(4), 2008

- В безразмерных переменных записывается в виде:

$$\frac{\partial f}{\partial t} + \xi_x \frac{\partial f}{\partial x} + \xi_y \frac{\partial f}{\partial y} + \xi_z \frac{\partial f}{\partial z} = \nu(f^{(S)} - f), \quad \nu = \frac{nT}{\mu} \delta,$$

$$\delta = \frac{l_* p_*}{\mu(T_*) \sqrt{2RT_*}} \sim \frac{0.9}{\text{Kn}}, \quad f^{(S)} = f_M \left( 1 + \frac{4}{5}(1 - \text{Pr}) \text{Sc}(c^2 - \frac{5}{2}) \right),$$

$$f_M = \frac{n}{(\pi T)^{3/2}} \exp(-c^2), \quad \mathbf{c} = \frac{\mathbf{v}}{\sqrt{T}}, \quad \mathbf{v} = \boldsymbol{\xi} - \mathbf{u}, \quad \mathbf{S} = \frac{2\mathbf{q}}{nT^{3/2}}.$$

- Макроскопические величины определяются как интегралы от функции распределения

$$\left( n, n\mathbf{u}, n\left(\frac{3}{2}T + u^2\right), \mathbf{q} \right) = \int \left( 1, \boldsymbol{\xi}, \xi^2, \frac{1}{2}\mathbf{v}\mathbf{v}^2 \right) f d\boldsymbol{\xi}.$$

- Граничные условия на поверхности с заданной температурой  $T_w$ :

$$f(\mathbf{x}, \boldsymbol{\xi}) = f_w = \frac{n_w}{(\pi T_w)^{3/2}} \exp\left(-\frac{\xi^2}{T_w}\right) \quad \xi_n = (\boldsymbol{\xi}, \mathbf{n}) > 0$$

- Линеаризованное уравнение так же включено в код.

- Стационарное решение находится с учетом установившегося:

$$\frac{\partial}{\partial t} g = -\xi \nabla g + J(g), \quad J = \nu(g^{(S)} - g),$$

где  $g$  - функция распределения  $f$  в нелинейном случае и возмущение  $h$  в линеаризованном.

- Бесконечная область интегрирования по  $\xi$  заменяется конечной
- Кинетическое уравнение заменяется системой из  $N_\xi$  неоднородных уравнений переноса для каждой  $g_\alpha = g(t, \mathbf{x}, \xi_\alpha)$ :

$$\frac{\partial}{\partial t} g_\alpha = -\xi_\alpha \nabla g_\alpha + J(g_\alpha),$$

которые связаны через макроскопические переменные в модельном интеграле столкновений  $J$ .



Вектор переменных  $\mathbf{W} = (n, u_1, u_2, u_3, T, q_1, q_2, q_3)^T$  находится из системы уравнений

$$\sum_{\alpha} \begin{pmatrix} 1 \\ \xi \\ \xi^2 \\ \mathbf{v}\mathbf{v}^2 \end{pmatrix}_{\alpha} (f_{\alpha}^{(S)} - f_{\alpha})\omega_{\alpha} + \begin{pmatrix} 0 \\ \mathbf{0} \\ 0 \\ 2\text{Pr}\mathbf{q} \end{pmatrix} = \mathbf{0}.$$

Индексы  $i$  и  $n$  опущены для простоты.

Система из 8 уравнений решается методом Ньютона с начальным приближением вида

$$\begin{pmatrix} n \\ nu \\ \frac{3}{2}nT + nu^2 \\ \mathbf{q} \end{pmatrix} = \sum_{\alpha} \begin{pmatrix} 1 \\ \xi \\ \xi^2 \\ \frac{1}{2}\mathbf{v}\mathbf{v}^2 \end{pmatrix}_{\alpha} f_{\alpha}\omega_{\alpha}$$

**Замечание 1:** метод применим к любой кинетической модели

**Замечание 2:** для  $\text{Pr} = 1$  решение сводится к методу работы Mieussens, 2000, полученному из других соображений

## Одноблочный метод

### Pros:

- transient identical to single-block implicit method
- relatively simple to code
- convenient for special versions

### Cons:

- relatively high memory requirements per core
- does not scale well above 128 cores for  $N_{space} > 10^5$

## Многоблочный метод

### Pros:

- excellent scaling
- can handle spatial meshes of arbitrary size

### Cons:

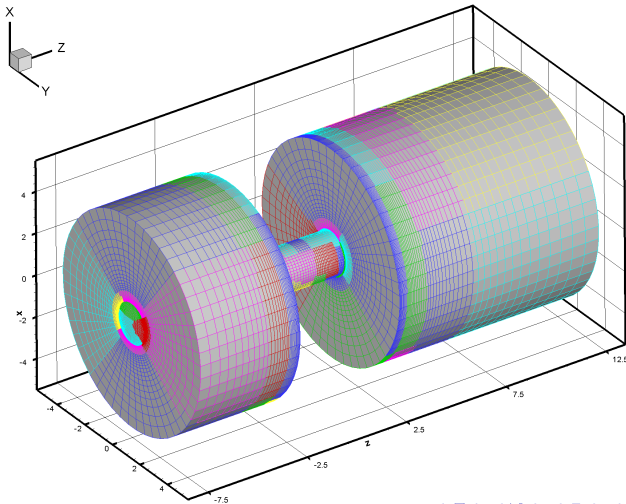
- requires complicated coding (to be done once)
- steady-state convergence slower than for single-block version

# Тестирование метода: течение в круглой трубе

Труба длины  $L$  и радиуса  $R$ . В резервуарах  $p_1 > p_2$ ,  $T_1 = T_2 = T_0$ .

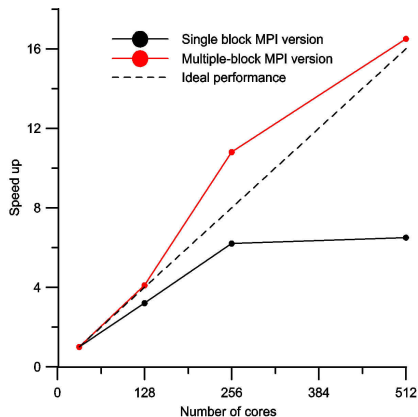
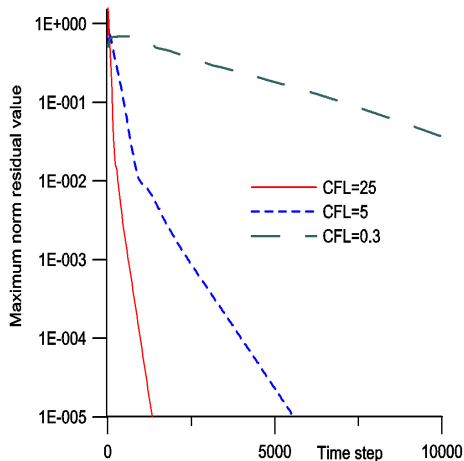
Геометрия:  $L/R=5$  & сетка из  $267 \times 10^3$  гексаэдров.

Тестовые расчеты выполнялись для  $p_1/p_2 = 2$ .



# Эффективность LU-SGS и масштабируемость

Решение строится для  $\delta_1 = 1$  с помощью квази-одномерной разностной схемы на Ломоносове.

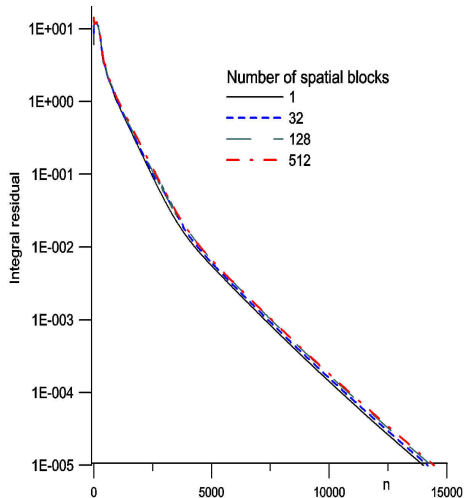
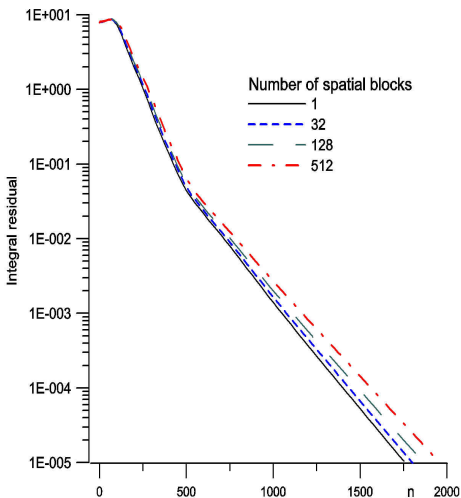


# Влияние числа блоков на скорость сходимости

Все результаты для квази-одномерной схемы с ограничителями наклона.

$\delta = 1$

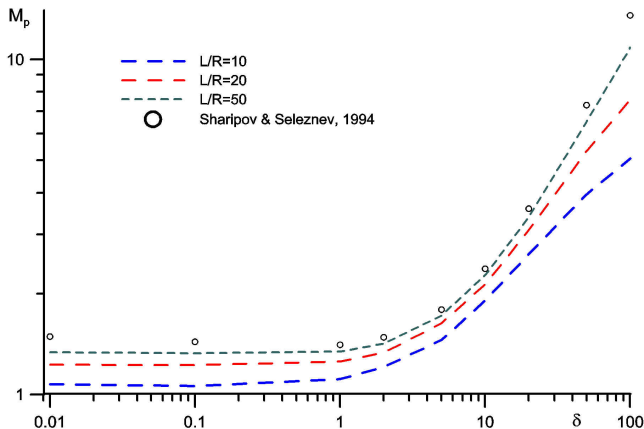
$\delta = 20$



Определим  $M_p = -(L/\Delta p)\dot{M}$ .

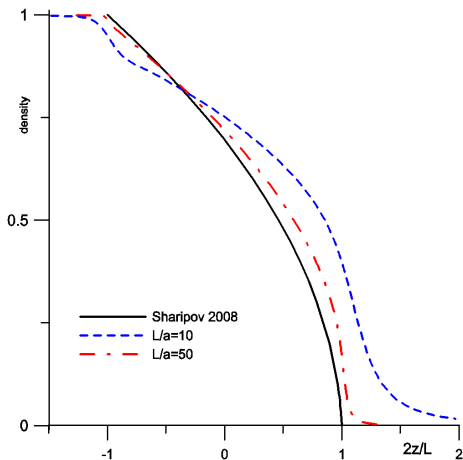
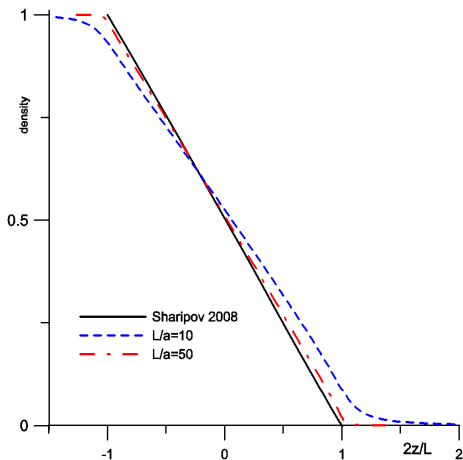
Штриховые линии - расчет для  $L/R = 10, 20, 50$  (Titarev & Shakhov, 2012).

Символы - приближенное решение из Sharipov & Seleznev, 1994, Sharipov 2008.



## Истечение в вакуум (2)

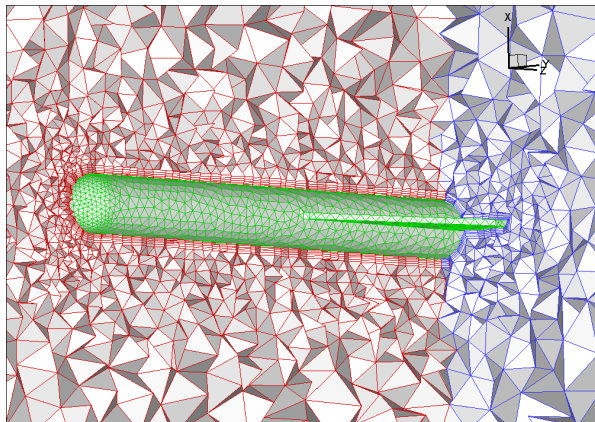
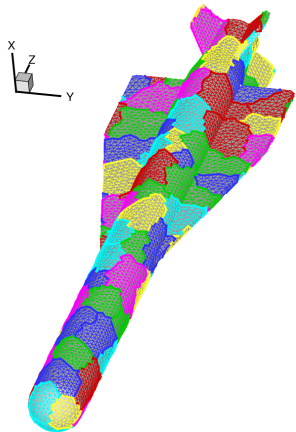
Распределение плотности вдоль оси трубы для  $\delta_1 = 1$  (слева) and  $\delta_1 = 100$  (справа).



Очевидное условие  $L/R \gg 1$  недостаточно для применения приближенной формулы. Требуется также чтобы  $\text{Kn} \cdot L \gg 1$ .

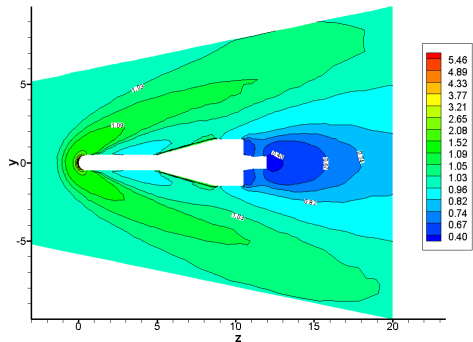
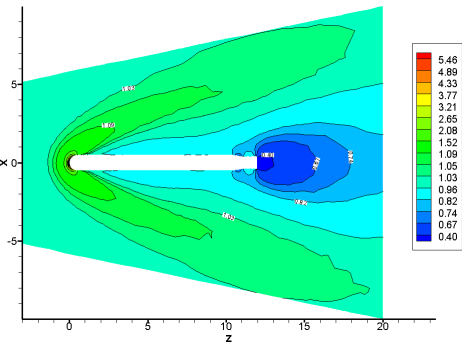
Внешняя задача:  $M_\infty = 3$  and  $\delta_\infty = 1$ .

Расчеты проводились в рамках работы по гранту Правительства РФ по постановлению N 220 'О мерах по привлечению ведущих ученых в российские образовательные учреждения высшего профессионального образования' по договору N 11.G34.31.0072.





# Линии уровня плотности в x-z и y-z плоскостях



Цель: создать среду моделирования, включающую в себя все этапы решения рассматриваемой задачи:

- 1 получение геометрии винта в формате CAD (форматы stl, iges, step)
- 2 построение расчетной сетки в физическом пространстве
- 3 расчет обтекания с использованием суперкомпьютеров
- 4 запись нестационарной истории распределения макропараметров на лопастях
- 5 обработка результатов в акустическом пост-процессоре
- 6 выдача рекомендаций разработчикам.

Полученный код будет 'in-house' кодом НИО-9.

Все результаты получены совместно с В.Ф. Копьевым и И.В. Беляевым

Уравнения Эйлера сжимаемого газа во вращающейся системе координат:

$$\frac{\partial}{\partial t} \mathbf{U} + \frac{\partial}{\partial x} \mathbf{F} + \frac{\partial}{\partial y} \mathbf{G} + \frac{\partial}{\partial z} \mathbf{H} = \mathbf{B},$$

где векторы консервативных переменных, конвективных потоков и источник имеют вид

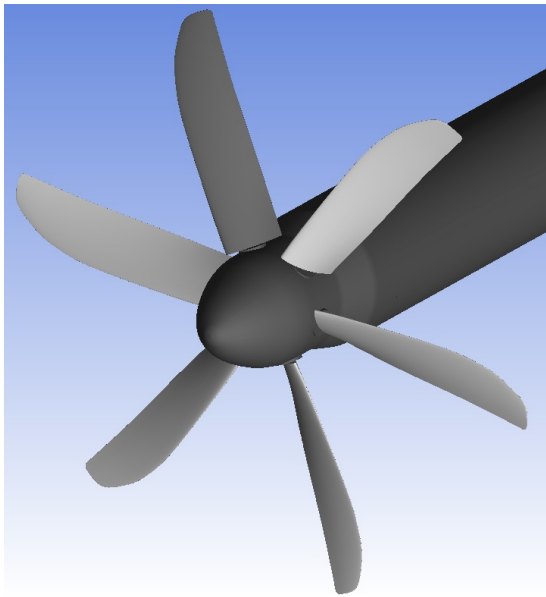
$$\mathbf{U} = \begin{pmatrix} \rho \\ \rho u \\ \rho v \\ \rho w \\ E \end{pmatrix}, \quad \mathbf{F} = (u - V_x)\mathbf{U} + p \begin{pmatrix} 0 \\ 1 \\ 0 \\ 0 \\ u \end{pmatrix}, \quad \mathbf{B} = -\rho \begin{pmatrix} 0 \\ -v \cdot \omega \\ +u \cdot \omega \\ 0 \\ 0 \end{pmatrix}, \quad \text{и т.д.}$$

Здесь  $(V_x, V_y, V_z)$  отвечает за вращение системы координат с угловой скоростью  $\omega$ :

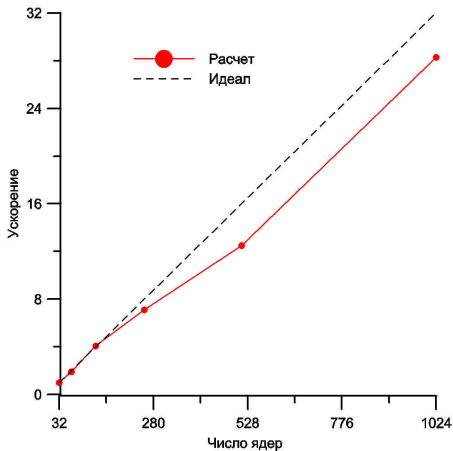
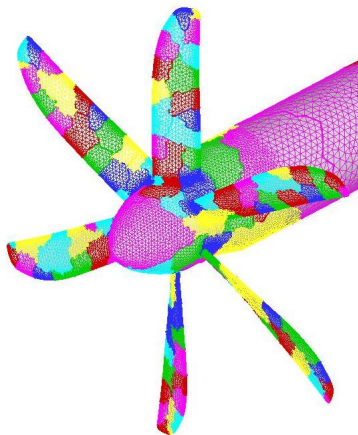
$$V_x = -y\omega, \quad V_y = x\omega, \quad V_z = 0$$

# Примеры расчетов: обтекание шестилопастного винта

- Геометрия предоставлена А. Лысенковым (ЦАГИ). Помощь в обработке оказал А. Савельев (ЦАГИ)
- В расчетах использовались как полная геометрия, так и упрощенная (без поворотного механизма)
- Условия: равномерный набегающий поток с заданной температурой
- Меняющиеся параметры: (1) скорость потока  $V$ , м/с (2) скорость вращения  $N$ , об/мин
- Из эксперимента ЦАГИ известны тяга, крутящий момент и шум
- Наша задача: сравниться с экспериментом по всем параметрам

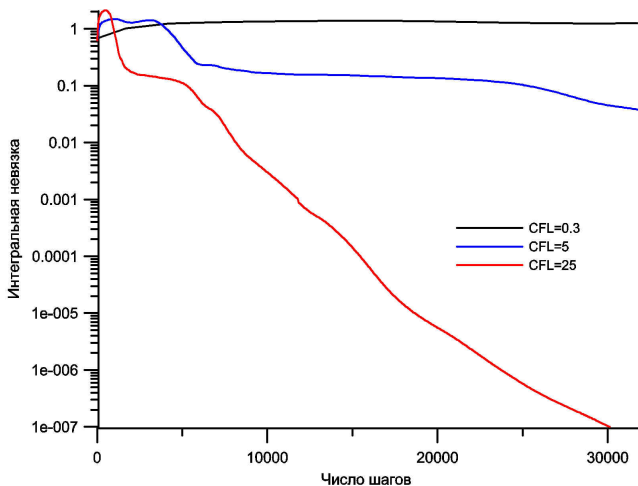


# Тестовый расчет: 5 миллионов тетраэдров



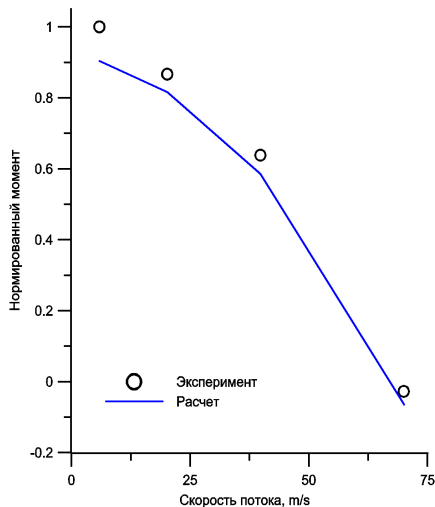
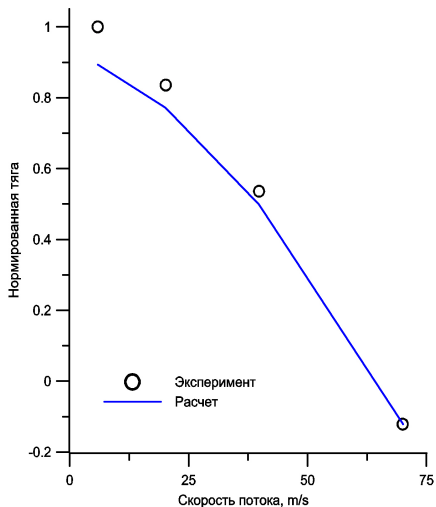
# Тестовый расчет: тестирование неявной схемы

Сходимость в интегральной норме для  $V=39.8$  м/с, 128 ядер



# Основные расчеты: 5-10 миллионов ячеек

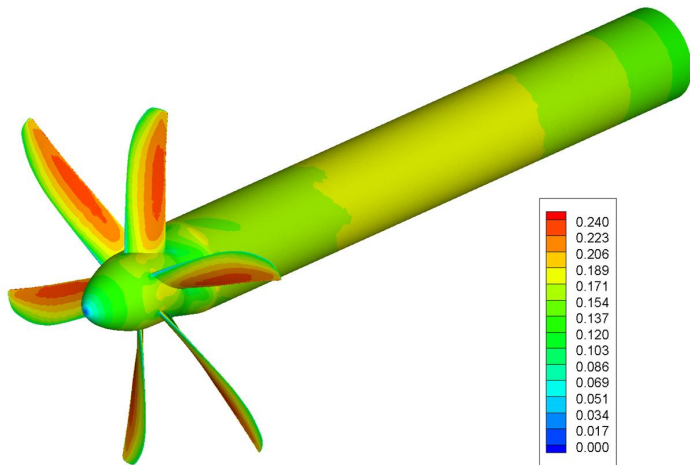
Сравнение с экспериментом: нормированные тяги и крутящий момент для скорости вращения  $N = 5000$  об/мин





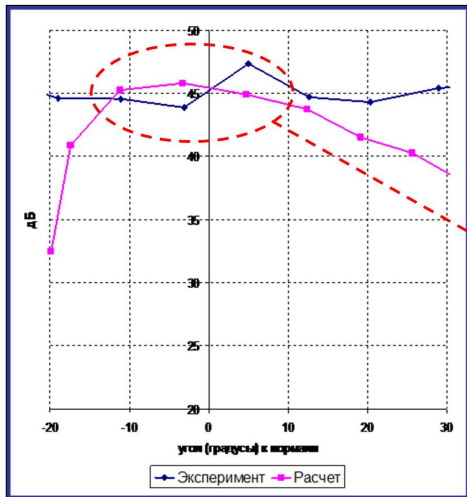
# Распределение числа Маха по поверхности

Скорость набегающего потока  $V=39.8$  м/с



- В сечениях лопасти вдоль радиуса брались геометрические параметры
  - хорда, максимальная толщина лопасти в данном сечении и функция распределения толщины лопасти вдоль хорды
- и рассчитанные нагрузки
  - функция распределения нагрузок вдоль хорды, суммарное значение нагрузок в данном сечении
- Полученные данные позволяют определить
  - шум вытеснения (связанный с геометрией лопасти)
- и
  - шум нагрузки (связанный с силами, действующими на лопасть)

Направленность суммарного шума винта для  $V=39.8$  м/с:



Область  
удовлетворительного  
согласия с  
экспериментом

- Наблюдается хорошее согласие с экспериментом при небольших углах отклонения от плоскости вращения винта
- Для больших углов различие достигает 20 децибелл, при этом экспериментальные данные явно нефизичные
- Объяснение: в расчетах не учитывается реальная геометрия трубы, которая приводит к многочисленным отражениям акустических волн
- Подтверждение - расчеты Онера для другого винта в той же трубе Т-104

# Задачи гиперзвукового обтекания тел

- Работа ведется в лаборатории С.В. Утюжникова в МФТИ в рамках работы по гранту Правительства РФ по постановлению N 220 'О мерах по привлечению ведущих ученых в российские образовательные учреждения высшего профессионального образования' по договору N 11.G34.31.0072.
- Страничка лаборатории: <http://www.flowmodellium.ru>
- Основная задача лаборатории: создание вычислительного комплекса по математическому моделированию задач высотной гиперзвуковой аэродинамики перспективных космических ЛА во всем диапазоне чисел Рейнольдса (Кнудсена).
- Особенностью разрабатываемого комплекса программ является сочетание современных вычислительных алгоритмов с возможностью учета реальных физических эффектов в широком диапазоне режимов движения гиперзвуковых летательных аппаратов.
- Комплекс программ будет создан на основе существующих заделов основных исполнителей

# Текущая версия решателя

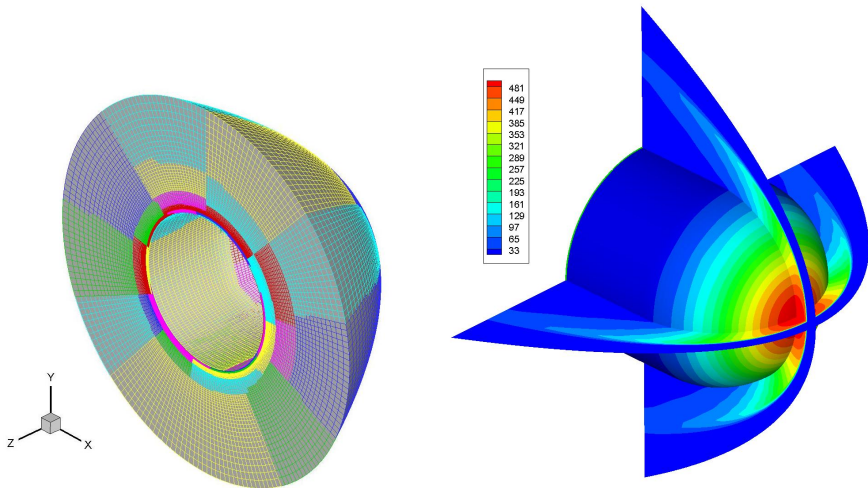
Решатель находится в стадии интеграции с блоком учета физико-химических процессов. Для идеального газа имеются:

- Способ реконструкции для конвективных потоков
  - полностью неструктурированный подход
  - локально-одномерная схема для гексаэдров
- Распад разрыва:
  - метод Рusanова, потоки HLL, HLLC и гибридный
- Аппроксимация вязких членов
  - Схема типа центральных разностей на грани + штрафная функция на границе (Dumbser 2010)
  - Прямой способ расчета (Mitchell 1994)
- Продвижение по времени - одношаговая схема с решателем LU-SGS (Накамура и Меньшов, 1996)

Код полностью параллельный для любой комбинации 'строительных' блоков.

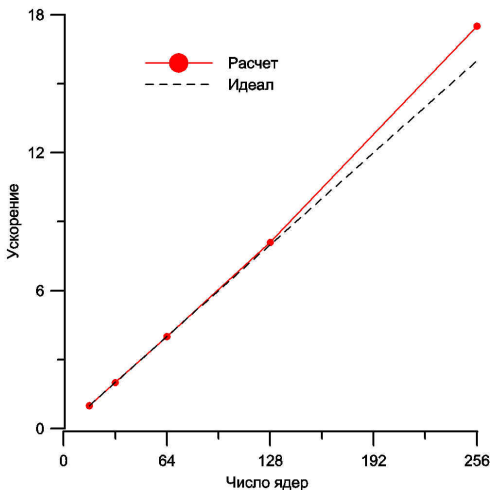
# Обтекание цилиндра, затупленного по сфере, $M_\infty = 20$

Сетка из 900 тыс ячеек. Первая ячейка по нормали к поверхности имеет размер  $10^{-4}$ , 100 ячеек по нормали, 128 процессоров.



# Масштабируемость кода: вязкий решатель

Сетка из 900 тысяч гексаэдров, структурированный решатель второго порядка точности. Расчет на Чебышеве.





- 1 V.A. Titarev (2007). Conservative numerical methods for model kinetic equations. *Computers and Fluids*. V. 36, N. 9. p. 1446 – 1459.
- 2 M. Dumbser, M. Kaser, V.A. Titarev and E. F. Toro (2007). Quadrature-free non-oscillatory finite volume schemes on unstructured meshes for nonlinear hyperbolic systems. *Journal of Computational Physics*. V. 221, N.2, pp. 693-723.
- 3 В.А. Титарев (2010). Неявный численный метод расчета пространственных течений разреженного газа на неструктурированных сетках. *Ж. вычисл. математики и мат. физики*, Т. 50, N 10, с. 1811-1826
- 4 P. Tsoutsanis, V.A. Titarev and D. Drikakis (2011). WENO schemes on arbitrary mixed-element unstructured meshes in three space dimensions. *Journal of Computational Physics*, V. 230, N. 4, P. 1585 - 1601
- 5 V.A. Titarev (2012). Efficient deterministic modelling of three-dimensional rarefied gas flows, *Communications in Computational Physics*, V. 12, N. 1, pp. 162-192
- 6 V.A. Titarev and E.M. Shakhov (2012). Computational study of a rarefied gas flow through a long circular pipe into vacuum. *Vacuum*, Special Issue "Vacuum Gas Dynamics". V. 86, N. 11, p. 1709-1716.
- 7 V.A. Titarev (2012). Efficient numerical solution of the model kinetic equations. In: *Numerical methods for Hyperbolic Equations*. Editors: E. Vazquez-Cendon, A. Hidalgo, P. Garcia-Navarro and L. Cea. Taylor & Francis Group.